

Fig. 11a Le circuit imprimé époxy est vissé sur une plaque carrée en Pertinax (voir Fig. 12).

Fig. 11a Het (epoxy) printplaatje wordt vervolgens op vierkant pertinax gevezen, zie fig. 12.

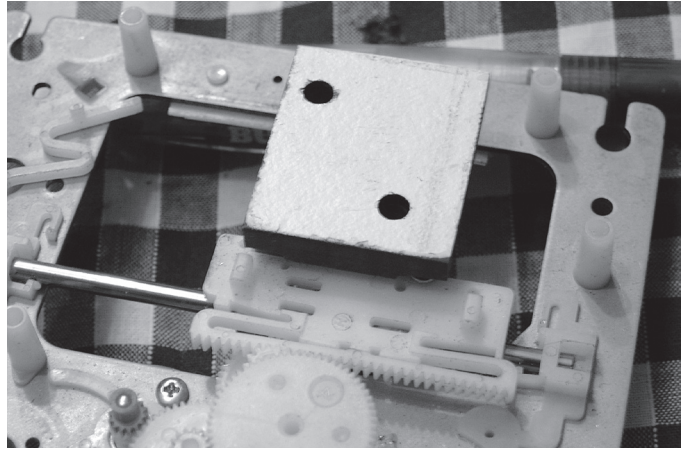


Fig. 11b Entretoise carrée en pertinax, ertalon ou équivalent.

Fig. 11b Passend vierkant afstandsplaatje in pertinax, ertalon of dergelijk materiaal.

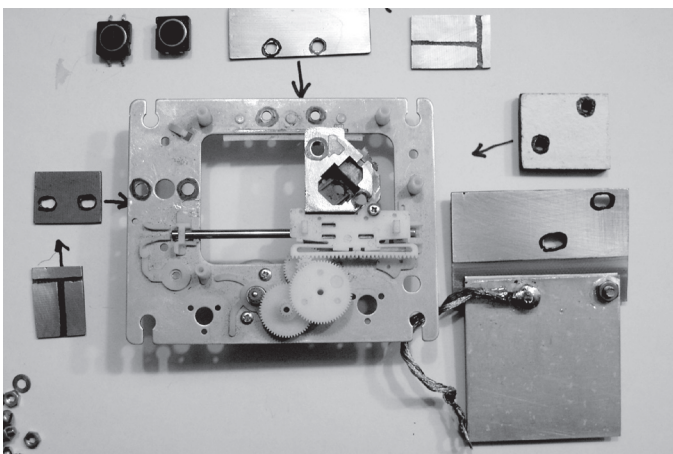


Fig. 12 Tous les composants prêts au montage.

Fig. 12 Alle onderdelen klaar voor assemblage

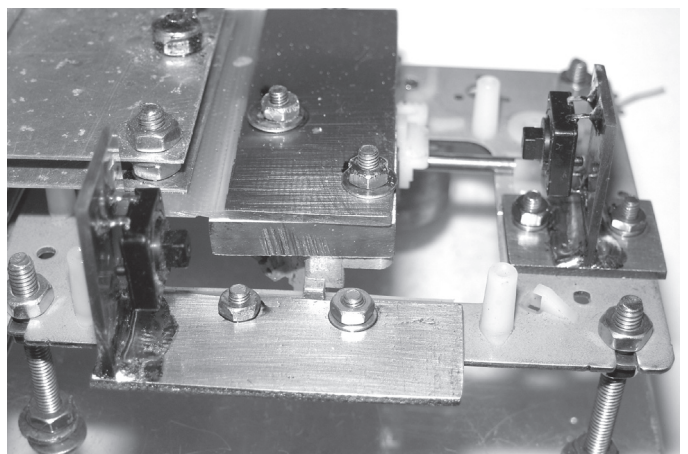


Fig. 13 Détail des plaques mobiles. Au centre, une plaque hardboard de 5 mm d'épaisseur et de 20 x 30 mm, fixée sur la pièce d'alu mobile et du circuit imprimé de 40 x 50 mm par deux vis et écrous de 3 mm. A gauche: les deux plaques d'aluminium vissées sur sur le circuit imprimé époxy double face. Attention: les plaques d'aluminium sont isolées par rapport au châssis du mécanisme (espacées par des écrous de 4 mm). En bas à gauche et au centre à droite, les deux interrupteurs de fin de course. Pour toute clarté, les tampons qui doivent activer les interrupteurs ne sont pas encore montés.

les plaques d'aluminium sont isolées par rapport au châssis du mécanisme (espacées par des écrous de 4 mm). En bas à gauche et au centre à droite, les deux interrupteurs de fin de course. Pour toute clarté, les tampons qui doivent activer les interrupteurs ne sont pas encore montés.

Fig. 13 Detail van de beweegbare platen. Midden: 5 mm dik hardboardplaatje 20 x 30 mm d.m.v. 2 x 3 mm bouten en moeren vastgevezen op beweegbaar alublokje samen met dubbelzijdige printplaatje van 40 x 50 mm. Links: de twee aluplaatjes vastgevezen op epoxy dubbelzijdige printplaat. Opgelet: de aluplaatjes zijn geïsoleerd opgesteld t.o.v. het loopwerk (spatie tussen de plaatjes d.m.v. 4 mm moer). Links voor en rechts midden: de twee eindeloopdetectoren (membraanschakelaartjes). Voor alle duidelijkheid: de twee 'stoters' die de schakelaars moeten activeren zijn nog niet gemonteerd.

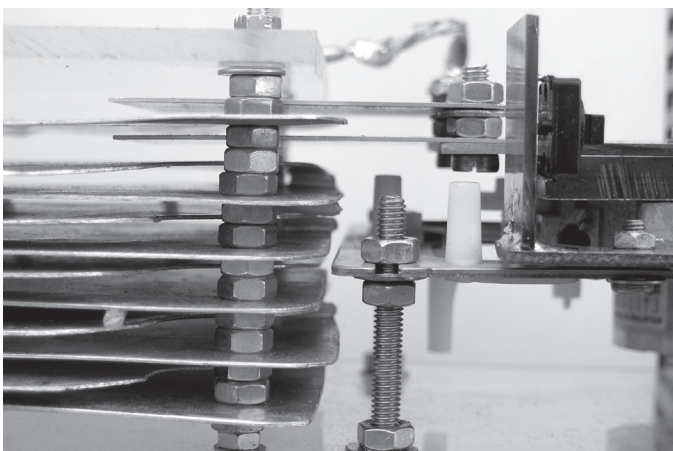


Fig. 14 Détail de la fixation du condensateur avec de la tige filetée et écrous de 4 mm. Le chariot est maintenu de la même façon.

Fig. 14 Detail van de bevestiging van de opbouw van de condensator met draadstang en 4 mm moeren. Het loopwerk wordt op gelijkaardige manier bevestigd.

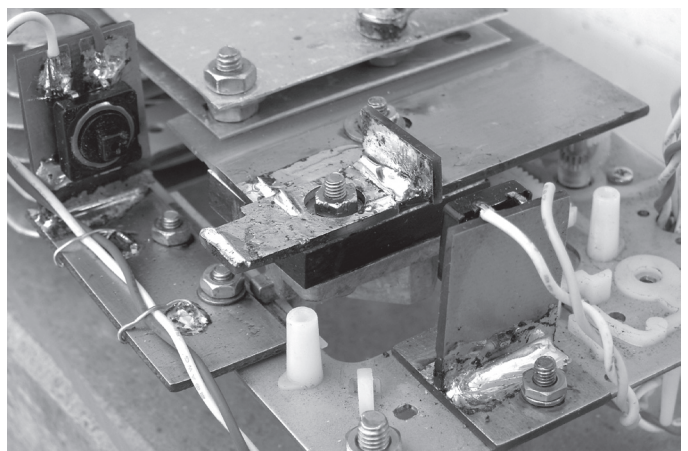


Fig. 15 Vue d'ensemble du condensateur variable complet y compris les tampons qui activent les fin de course. Ces tampons sont faits de petits circuits imprimés qui sont soudés de manière à ce qu'ils commandent les interrupteurs en position maximum et minimum du condensateur variable.

Fig. 15 Beeld van volledig gemonteerde variabele condensator; inclusief eindeloop 'stoters'. Dit zijn in feite kleine stukjes printplaat die zodanig op de beweegbare printplaat zijn gesoldeerd dat ze de respectievelijke schakelaar sluiten bij maximum/minimumstand stand van de variabele condensator.

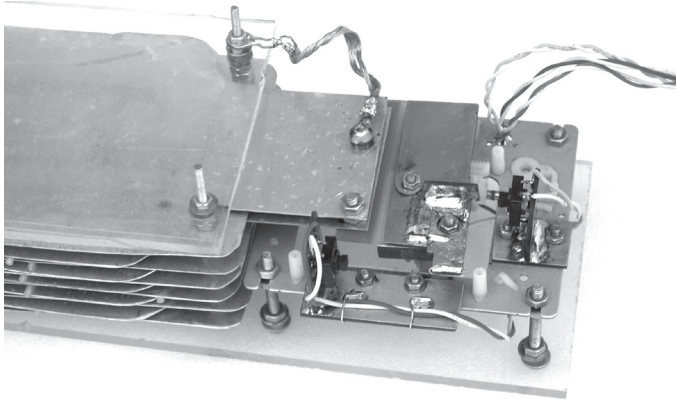


Fig. 16 Idem

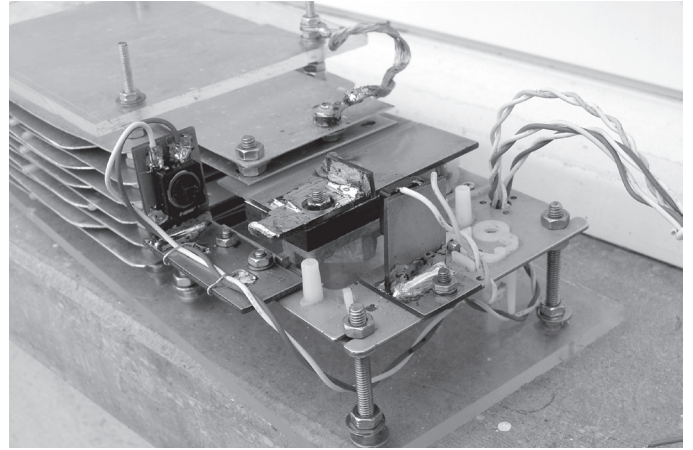


Fig. 17 Un ensemble de 2 x 4 plaques (90 x 140 mm chaque) et deux plaques mobiles de 55 x 55 mm donne finalement une valeur suffisante: C_{max} 276 pF – C_{min} 263 pF.

Fig. 17 Een pakket van 2 x 4 vaste platen (elk ca. 90 x 140 mm) met 2 beweegbare plaatjes van 55 x 55 mm geeft uiteindelijk volgende waarde: C_{max} 276 pF C_{min} 263 pF.

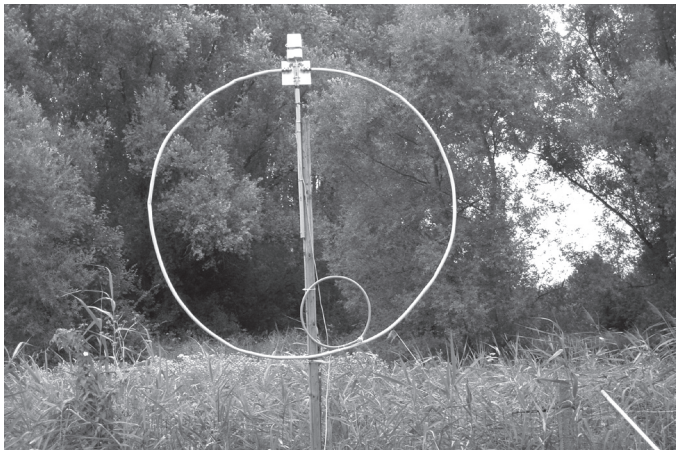


Fig. 18 Avec une loop de 2,2 m de diamètre, l'antenne est en résonance entre 3540 et 3620 kHz! En d'autres termes, une bande passante de 80 kHz.

Fig. 18 Met een loop van ongeveer 2,2 m diameter geeft dit een antenneresonantie van 3540 tot 3620 kHz! In andere woorden een bereik van 80 kHz.

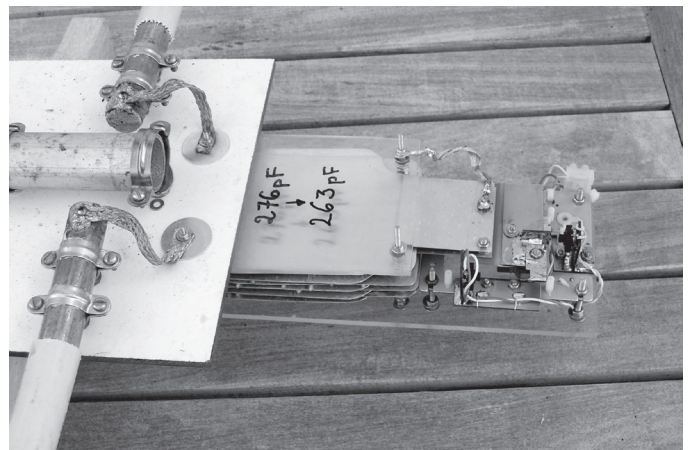


Fig. 19 Détail de la fixation du tuyau de cuivre (surplus du chauffage, diamètre 22 mm, également sauvé du parc à conteneurs).

Fig. 19 Detail van de bevestiging van de koperbuis (overschot vloerverwarming, diameter 22 mm, eveneens 'gered' van het containerpark).



Fig. 20 Le couplage est effectué par une loop symétrique de environ 1/5 de l'antenne.

Fig. 20 De aansturing van deze magloop gebeurt d.m.v. een symmetrische loop ongeveer 1/5 van de antenneloop.

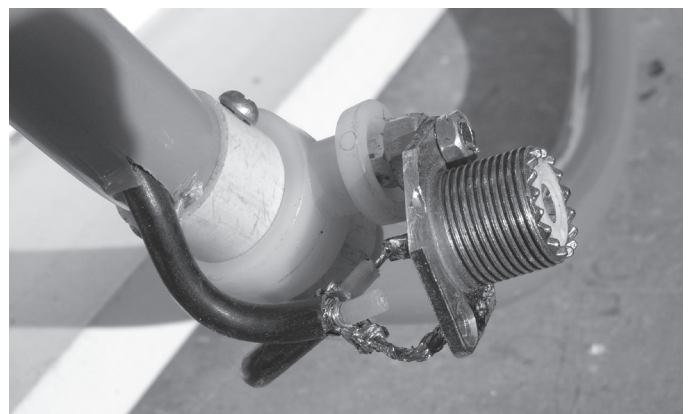


Fig. 21 Détail de la connexion du SO-239. Il manque juste encore de la silicone.

Fig. 21 Detail van de verbinding aan de SO-239. Hier komt straks wat silicone op.

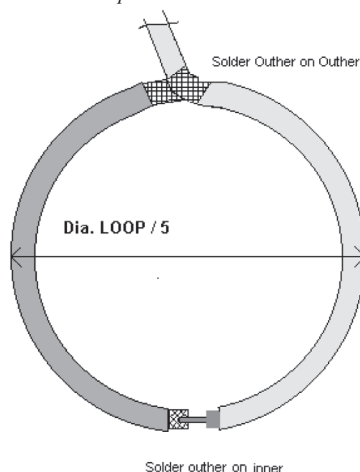


Fig. 22 Matériel pour la loop: RG58, logé dans un tuyau d'eau en plastique de 18 mm, faire quelques entailles pour faciliter le passage du RG58, petit morceau de tuyau en plastique blanc, quelques vis parker et le tour est joué!

Fig. 22 Materiaal voor de loop: RG58, deze zit nu mooi op zijn plaats in een jasje van PVC waterleidingbuis 18 mm, enkele inkepingen maken zodat de RG58 kan passeren, stukje witte PVC buis, enkele parkervijzen en we kunnen weeral verder.